

( $E = 0$ ) решение в виде быстроубывающего волнового пакета:

$$\Psi(x, t) = \pm a \exp \left[ -\frac{1}{2} \left( 1 - \frac{E_0}{\beta} \right) - \frac{1}{2}(z - z_0)^2 \right] \times \exp[i(px - Et)]. \quad (23)$$

Потенциал (21), его производные и фазовый портрет сепаратрисного решения (23) уравнения (22) приведены на рис. 5:  $U(y)$  — сплошная линия,  $U'(y)$  — штриховая,  $U''(y)$  — пунктирная.

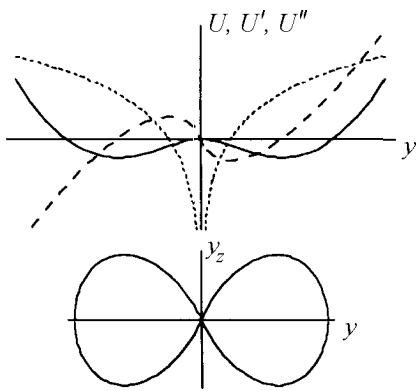


Рис. 5

В заключение еще раз отметим, что приведенные в работе нелинейные уравнения, имеющие частные решения в виде нерасплювающихся волновых пакетов, могут служить моделями описания ряда физических задач.

Авторы глубоко благодарны В.Ф. Березницкой за постоянное внимание.

#### Литература

1. Виноградова М.Б., Руденко О.В., Сухоруков А.П. Теория волн. 2-е изд. М.: Наука, 1990.
2. Ахманов С.А., Выслух В.А., Чиркин А.С. // УФН. 1986. 149, № 3. С. 449.
3. Ландау Л.Д., Лифшиц Е.М. Квантовая механика. М.: Физматгиз, 1963.
4. Солитоны в действии / Под ред. К. Лонгрена и Э. Скотта. М.: Мир, 1981.
5. Захаров В.Е., Манаков С.П., Новиков С.П., Питаевский Л.П. Теория солитонов. Метод обратной задачи / Под ред. С.П. Новикова. М.: Наука, 1980.
6. Корниенко А.Г., Тернов И.М., Френкин А.Р., Чижов Г.А. // Вестн. Моск. ун-та. Физ. Астрон. 1995. № 4. С. 3 (Moscow University Phys. Bull. 1995. No. 4. P. 1).
7. Корниенко А.Г., Френкин А.Р., Чижов Г.А. // Там же. 1997. № 5. С. 10 (Ibid. 1997. No. 5. P. 12).
8. Баринова Е.Г., Корниенко А.Г., Френкин А.Р., Чижов Г.А. // Там же. 1998. № 1. С. 12 (Ibid. 1998. No. 1. P. 14).
9. Френкин А.Р. // Там же. 1999. № 2. С. 9 (Ibid. 1999. No. 2. P. 11).
10. Жак П. де. Идеи скейлинга в физике полимеров. М.: Мир, 1982.
11. Халилов В.Р., Чижов Г.А. Динамика классических систем: Учеб. пособие. М.: Изд-во Моск. ун-та, 1993.

Поступила в редакцию  
23.06.99

УДК 519:6:616

## ЗАДАЧА ИДЕНТИФИКАЦИИ ДЛЯ ОДНОЙ КВАЗИРАВНОВЕСНОЙ МОДЕЛИ ИММУНОЛОГИИ

**В. Б. Гласко, С. В. Родионов, А. А. Володин, А. С. Соболевский**

(кафедра математики)

Предложена математическая модель для описания процесса активации лейкоцитов, учитывающая глубинный источник и стационарность гистограммы. Для идентификации модели по параметрам исследована проблема единственности; разработан регуляризирующий алгоритм и проведен математический эксперимент с оценкой погрешности результата в зависимости от уровня погрешности данных наблюдений.

Разработка биологических основ и математических моделей иммунологии посвящены фундаментальные работы [1, 2]. В работе [3] впервые рассмотрена задача об идентификации модели процесса активации иммунокомпетентных клеток с показаниями проточного цитометра [4], обнаруживающего в эксперименте распределение клеток по уровню активации.

Эта задача, как и рассматриваемая в настоящей работе, открывает возможности оперативного изучения состояния иммунной системы пациента, в частности в целях профилактики заболевания. В отличие от [3], нами постулируется более содержатель-

ная модель активации клетки. Ее идентификация с показаниями прибора проводится в условиях стационарности последних, что соответствует квазиравновесному состоянию иммунной системы пациента. Выясняются вопросы математической корректности модели. Целью работы является оценка возможности прогноза заболевания с помощью математического эксперимента.

1. Пусть  $A(t)$  — число молекул на поверхности клетки в течение ее времени жизни  $t$ , а  $B(t)$  — число их в недрах клетки. Предлагаемая модель учитывает транспорт молекул на поверхность, а также их распад как на поверхности, так и внутри. Модели

соответствует следующая задача Коши:

$$\frac{dA}{dt} = -\alpha A + \beta B, \quad \frac{dB}{dt} = -\beta B, \quad (1)$$

$$A(0) = A_0, \quad B(0) = B_0,$$

определенная на множестве положительных значений числовых параметров  $\alpha, \beta, A_0, B_0$ .

Согласно [5], при любой совокупности параметров задача (1) имеет, и притом единственное, решение  $\{A(t), B(t)\}$ , устойчивое в конечном временном диапазоне. При дополнительном ограничении на параметры:  $-\alpha A_0 + \beta B_0 < 0$  в силу непрерывности решения существует сегмент  $[0, \hat{t}]$ , в пределах которого  $-\alpha A + \beta B < 0$ , и поскольку  $B(t) > 0$ , решение монотонно убывает с ростом  $t \in [0, \hat{t}]$ ; соответствующий процесс назовем монотонным.

Решение системы (1) можно выразить аналитически в виде

$$A(t) = \frac{\beta B_0}{\alpha - \beta} e^{-\beta t} + \left( A_0 - \frac{\beta B_0}{\alpha - \beta} \right) e^{-\alpha t}, \quad (2)$$

что и определяет алгоритм его вычисления. Величину  $A(t)$  назовем «уровнем активации» клетки.

2. Проточный цитометр подсчитывает число клеток с уровнем активности в пределах каждого из заданных диапазонов  $[A_i, A_i + \Delta A_i]$ , соответствующих различным каналам прибора. Результатом такого подсчета является гистограмма  $\{\tilde{n}(A_i)\}$  — дискретное описание истинного распределения. При стационарном состоянии организма гистограмма не зависит от момента наблюдения. Поскольку активность отдельной клетки меняется в течение ее жизни в соответствии с (1), неизменность гистограммы объясняется тем, что спонтанный распад некоторого числа клеток в  $i$ -м канале компенсируется приращением за счет распада клеток в соседнем, соответствующем большей активности. Отнеся эти изменения к элементу  $\Delta t$  времени развития процесса (1), получим  $\Delta N(A_{i+1}) = \Delta N(A_i)$  для любого  $i$ , если  $N(A_i)$  — точное число клеток с уровнем активности не менее  $A_i$ , зарегистрированных прибором.

Обращаясь к непрерывному анализу модели, введем  $N(A)$ . Если  $n(A)$  — плотность распределения клеток — непрерывный аналог гистограммы, то в силу дифференцируемости  $A(t)$  (1)

$$dN(A) = \frac{dN}{dt} dt = n(A) \frac{dA}{dt} dt.$$

Так как в рассматриваемом сегменте функция  $A(t)$  монотонна, то она имеет обратную функцию  $t = g(A)$ , также дифференцируемую; при этом  $dA/dt = (g'(A))^{-1} < 0$  [6]. При постоянном  $dt$  приходим к уравнению равновесия в виде

$$\frac{n(A)}{g'(A)} = C_0 = \text{const} < 0.$$

Таким образом, при заданных параметрах биологической системы  $\mathbf{P} = \{\alpha, \beta, A_0, B_0, C_0\}$  монотон-

ный процесс активации, отражаемый в показаниях проточного цитометра, описывается задачей Коши с присоединенным законом распределения клеток по уровню активации:

$$\begin{aligned} \frac{dA}{dt} &= -\alpha A + \beta B, & A(0) &= A_0; \\ \frac{dB}{dt} &= -\beta B, & B(0) &= B_0; & \frac{n(A)}{g'(A)} &= C_0. \end{aligned} \quad (3)$$

Эту модель назовем квазиравновесной.

3. Задача идентификации квазиравновесной модели состоит в выборе параметров  $\mathbf{P}$  по заданной минимальной информации относительно решений  $A(t), B(t), n(A)$ . Такая задача относится к числу обратных [7], и разработка алгоритмов решения требует изучения вопросов ее корректности. Исключим прежде всего из числа искомых параметров  $A_0$ : для монотонного процесса эта величина устанавливается по экспериментальным гистограммам:  $n(A_0) = n_0$ . Тогда искомым оказывается набор  $\mathbf{q} = \{\alpha, \beta, B_0, C_0\}$ . В качестве минимальной входной информации, сопоставляемой с прямыми наблюдениями, примем «теоретическую» гистограмму:  $n = n(A, \mathbf{q})$ . В соответствии с концепцией корректности постановки задачи по А. Н. Тихонову, положим  $\mathbf{q} \in Q$ , где  $Q$  — заданное по биологическим данным множество допустимых значений параметров. Пусть  $P$  — множество решений задачи (3):  $W = \{A, B, n\}$  при всевозможных  $\mathbf{q} \in Q$ . Тогда очевидно, что для любого  $W \in P$  существует точное решение задачи идентификации.

Вопрос о единственности такого решения рассмотрим в точной постановке. Этот подход даст возможность выяснить принципиальную возможность определения тех или иных параметров по избранной входной информации.

Для этого формулируем явно уравнение, определяющее  $n(A, \mathbf{q})$ . При известной гистограмме  $n(A)$  последнее уравнение из (3) дает

$$t = \frac{1}{C_0} \int_{A_0}^A n(\xi) d\xi,$$

и тогда из второго уравнения

$$B = B_0 \exp \left( \frac{-\beta}{C_0} \int_{A_0}^A n(\xi) d\xi \right).$$

Наконец, первое уравнение (3) приводит в силу установленных связей к функциональному уравнению относительно  $n(A)$ :

$$n^{-1}(A) = \frac{-\alpha}{C_0} + \frac{\beta}{C_0} B_0 \exp \left( \frac{-\beta}{C_0} \int_{A_0}^A n(\xi) d\xi \right). \quad (4)$$

Очевидно, что решение уравнения (4) при заданном  $A_0$  зависит только от трех параметров

$\check{\mathbf{q}} = \left\{ \check{\alpha} = \frac{\alpha}{C_0}, \check{\beta} = \frac{\beta}{C_0}, B_0 \right\}$ . Таким образом, верна

Теорема 1. Заданной теоретической гистограмме соответствует бесконечное множество значений  $\mathbf{q}$ , образующее однопараметрическое семейство (зависящее от параметра  $C_0$ ).

Отсюда следует, что для выделения единственного решения относительно  $\check{\mathbf{q}}$  необходимо заранее задать  $C_0$  из биологических соображений.

Для выяснения вопроса об однозначности определения остальных параметров по гистограмме воспользуемся методом асимптотического анализа [8, 9]. Такой анализ выражения (4) в окрестности точки  $A_0$  приводит к следующему заключению.

Теорема 2. В области, определенной неравенствами  $\check{\alpha} < 0$ ,  $\check{\beta} < 0$ ,  $B_0 > 0$ , гистограмме  $n(A)$  отвечает единственное значение  $\check{\mathbf{q}}$ .

4. Как выяснилось, отражения модели в показаниях проточного цитометра недостаточно для восстановления полной совокупности ее параметров. Убедимся, что все их можно восстановить, если расширить косвенную информацию о модели, считая известной также функцию  $A(t)$ . В самом деле, согласно (2), для  $A(t)$  справедливо следующее асимптотическое ( $t \rightarrow 0$ ) выражение:

$$\begin{aligned} A(t) &= A_0 - [D_0\beta + (A_0 - D_0)\check{\alpha}]t + o(t) \equiv \\ &\equiv (A_0 - \check{\alpha}_1 C_0 t) + o(t), \\ D_0 &= \beta B_0 (\alpha - \beta)^{-1} = \check{\beta} B_0 (\check{\alpha} - \check{\beta})^{-1}, \\ \check{\alpha}_1 &= D_0 \check{\beta} + (A_0 - D_0) \check{\alpha}. \end{aligned} \quad (5)$$

Здесь значения  $\check{\alpha}$ ,  $\check{\beta}$ ,  $B_0$  определены однозначно теоретической гистограммой; формула (5) однозначно определяет при достаточно малых  $t$  коэффициент  $\check{\alpha}_1 C_0$ , а следовательно и  $C_0$ . Таким образом, верна

Теорема 3. Пусть при известном значении  $A_0$  параметры модели (3) принадлежат множеству  $D$ , определенному неравенствами  $\alpha > 0$ ,  $\beta > 0$ ,  $B_0 > 0$ ,  $C_0 < 0$ ,  $-\alpha A_0 + \beta B_0 < 0$ , пусть  $[0, \hat{t}]$  — область монотонности функции  $A(t)$ . Тогда совокупность параметров модели однозначно определяется парой функций:  $\{n = n(A), A = A(t), t \in [0, \hat{t}]\}$ , соответствующих решению (3).

5. Обращаясь к вопросу об алгоритме расчета неизвестных параметров модели по косвенной информации о них, мы воспользуемся данными о  $n_{\text{exp}}(A)$ , предоставленными Институтом иммунологии РАМН. В соответствии с проведенным выше анализом можно рассчитывать на получение по этим данным всех параметров, кроме  $C_0$ , и в представленном ниже численном эксперименте мы полагали  $C_0 = -1$ .

Для решения задачи при заданных  $n_{\text{exp}}(A)$  естественно воспользоваться методом наименьших квадратов. Тогда  $\check{\mathbf{q}} = \arg \inf \Phi(\mathbf{q})$ ,

$$\Phi = \sum_{i=1}^M [\varphi(t_i, \mathbf{q}) - A_i]^2.$$

Здесь  $A_i$  можно задать произвольно, например  $A_i \equiv i \in N$ ;  $\varphi(t_i, \mathbf{q})$  — значение  $A(t)$  при  $t = t_i$ , вычисляемое по экспериментальным данным  $n_{\text{exp}}$ .

Как известно [7], решение обратной задачи в пространстве небольшой фиксированной размерности  $E^{(m)}$  не исключает при заметной погрешности входных данных «практической» неустойчивости результата: определенные значения компонент  $\mathbf{q}$  могут выйти за пределы множества допустимых значений. Для контроля над этим эффектом зададим множество  $\hat{P}$  посредством явных ограничений на компоненты и сведем задачу к условной минимизации среднеквадратичного функционала, что соответствует концепции «квазирешения» [10]:

$$\mathbf{q} = \arg \inf_{\hat{P}} \Phi(\mathbf{q}).$$

Для решения этой задачи нами были опробованы два известных метода: метод условного градиента и метод формального поиска, давшие практически совпадающие результаты [11].

6. Существенным для приложений является вопрос о том, при какой погрешности  $\delta$  в экспериментальных данных решение рассматриваемой обратной задачи получается с допустимой в медицинской практике погрешностью  $\varepsilon$ .

Ответ на этот вопрос находится методом математического эксперимента на ЭВМ [7, 3], определяющего зависимость  $\varepsilon = \varepsilon(\delta)$ . Одновременно опробуется предлагаемый комплекс алгоритмов.

В нашем эксперименте множество  $D$  задавалось неравенствами  $40 \leq \alpha \leq 100$ ;  $1,3 \leq \beta \leq 3,0$ ;  $500 \leq B_0 \leq 1500$ . Значение  $A_0$  соответствовало экспериментальным данным из диапазона  $A_0 \in [300, 3000]$ .

Оценка  $\varepsilon(\delta)$  при характерных значениях параметров  $\mathbf{q}$  из заданного диапазона производится по схеме, изложенной в работе [7].

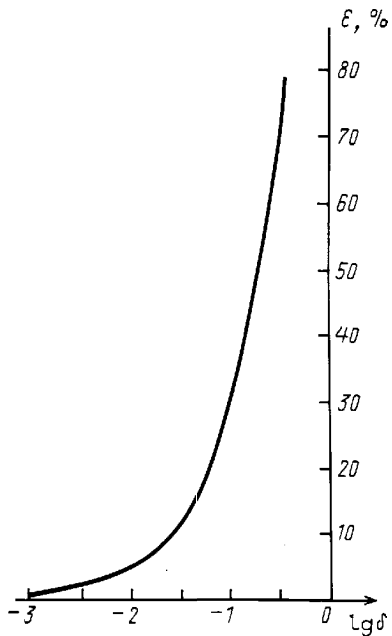
Поскольку точные значения искомых параметров известны (они учтены вычисленными значениями  $\{n_i\}$ ), оказывается возможным выяснить погрешность их определения. В качестве меры относительной погрешности мы приняли величину

$$\varepsilon = \max \left( \left| \frac{\alpha_\delta - \hat{\alpha}}{\hat{\alpha}} \right|, \left| \frac{\beta_\delta - \hat{\beta}}{\hat{\beta}} \right|, \left| \frac{B_{0\delta} - \hat{B}_0}{\hat{B}_0} \right| \right),$$

где  $\hat{\alpha}$  и т.д. — точные значения параметров,  $\alpha_\delta$  и т.д. — значения их, вычисленные в нашем алгоритме. Величина  $\delta$  определялась как среднеквадратичная мера относительной погрешности набора теоретической гистограммы.

На рисунке представлен в полулогарифмическом масштабе график зависимости  $\varepsilon = \varepsilon(\delta)$  для варианта  $\alpha = 54$ ,  $\beta = 2,15$ ,  $B_0 = 1360$ . Обнаруживается интенсивный рост погрешности решения с увеличением  $\delta$ .

Эксперимент, проведенный для серии вариантов в указанном выше диапазоне параметров, показывает, что удовлетворительную точность прогнозирования



(на уровне  $\sim 1\%$ ) можно получить при  $\delta \leq 0,1\%$ , но уже при  $\delta = 10^{-1,5}$  ( $\sim 3\%$ ) погрешность решения достигает 12,5%.

Отметим, что эти оценки совпадают по порядку величины с полученными в работе [3] для другой модели.

#### Литература

- Бернет Ф. Целостность организма и иммунитет. М.: Мир, 1964.
- Марчук Г.И. Математические модели в иммунологии. Вычислительные методы и эксперименты. М.: Недра, 1991.
- Васильев О.С., Гласко В.Б., Гласко Ю.В. и др. // Вестн. Моск. ун-та. Физ. Астрон. 1997. № 4. С. 7 (Moscow University Phys. Bull. 1997. No. 4. P. 7).
- Федосеева В.Н., Порядин Г.В., Ковалчук А.В. и др. Руководство по иммунологическим и аллергологическим методам в гигиенических исследованиях. М.: Промедок, 1993.
- Тихонов А.Н., Васильева А.Б., Свешников А.Г. Дифференциальные уравнения. М.: Наука, 1985.
- Ильин В.А., Позняк Э.Г. Основы математического анализа. Ч. 1. М.: Наука, 1973.
- Гласко В.Б. Обратные задачи математической физики. М.: Изд-во Моск. ун-та, 1984.
- Тихонов А.Н. // ЖВМ и МФ. 1965. 5, № 3. С. 545.
- Гласко В.Б., Щепетилов А.В. // ЖВМ и МФ. 1991. 31, № 12. С. 1826.
- Тихонов А.Н., Арсенин В.Я. Методы решения некорректных задач. М.: Наука, 1979.
- Калитник Н.Н. Численные методы. М.: Наука, 1978.

Поступила в редакцию 25.06.99

УДК 539.19+539.2

## ФРАГМЕНТАЦИЯ ОРГАНИЧЕСКИХ МОЛЕКУЛ ВО ВНЕШНЕМ ПЕРИОДИЧЕСКОМ ПОЛЕ

Е. Д. Александрова, В. В. Комаров, А. М. Попова, Ю. О. Трондина, Х. Юнгклас\*)  
(НИИЯФ)

Рассматриваются процессы диссоциации полиатомных молекул, содержащих подструктуры из насыщенных углеводородных цепей, при поглощении ИК-фотонов. Предложена теоретическая модель процесса, которая основана на теории коллективных колебательных состояний (эксимолей), возникающих в цепях упорядоченных валентных групп насыщенных углеводородов. Получено выражение для функции вероятности процесса. Как пример рассмотрена вероятность фрагментации молекул полиэтилена под действием излучения  $\text{CO}_2$ -лазера.

Процессы возбуждения и диссоциации полиатомных молекул под действием внешних полей интенсивно исследуются в последнее время как экспериментально, так и теоретически (см., напр., [1–5]). Большинство из публикуемых работ посвящено изучению фрагментации молекул при их скольжении по поверхности на атомных расстояниях со скоростями ниже скорости Бора ( $v_B = 10^8$  см/с) [2, 4, 5]. Изучается также диссоциация молекул под действием ИК-излучения лазера [6]. Эксперимент показал, что полиатомные молекулы во внешнем периодическом ИК-поле могут накапливать внутреннюю энергию вплоть до энергии диссоциации. Причем оказалось, что вероятность этого процесса существенно зависит от структуры молекулы.

В работах [5, 7] было экспериментально установлено, что полиатомные молекулы, содержащие цепи упорядоченных валентных связей во внешнем поле, накапливают внутреннюю энергию со значительно большей вероятностью, чем молекулы с другой структурой. Эти результаты послужили основой для создания модели накопления энергии в полиатомных молекулах, подструктуры которых имеют вид одномерных кристаллов. В основу модели положены работы о коллективных колебательных состояниях (эксимолях) в цепях упорядоченных валентных связей [8, 9]. В соответствии с этой теорией эксимоли, имеющие энергию, близкую к энергии первого колебательного состояния двухатомной связи цепи, возникают за счет диполь-дипольного взаимодействия дипольных моментов валентных групп с внешним периодическим полем и между собой. Внутренняя энер-

\*) Philipps Universität, Marburg/Lahn.